

立命館大学理工学部 正員 勝見 雅
立命館大学理工学部 正員 ○西本 安範

1. 緒言 水平力をうける杭の挙動に関しては、地盤を弾性体とした Chang の方法はあまり適用できず、地盤の非弾塑的性質を考慮した林・久保氏の方法¹⁾がよく対応すると言われている。周知のことく、これらは図-1 に示すごとくや一矢曲線を Chang の式では直線とし、林・久保式では荷重が初期の段階から曲線と考えたものである。これに対し筆者らはや一矢曲線を近似的に 2 つの折れ線と考え、さらに地盤反力係数 γ を深さに関係なく一定とし、降伏状態に達する反力 P_f を深さ方向に変化させた場合の理論式を誘導し、乾燥砂地盤による模型実験結果と対比したところかなりよい対応がみられた²⁾。そこで今回は粘土地盤に主眼をおいた模型実験を行ない、比較検討を加えたのでその結果を報告する。

2. 理論式の誘導 理論式の誘導に関しては、すでに報告したのでそ²⁾の概略について述べる。一般に水平力をうける杭の周辺地盤が、荷重の増大にともない地表面から次第に降伏状態に達するものと考えれば、地盤反力の分布は図-2 に示すごとく、塑性域、弾性域においてそれぞれ、 $bP_f x^n$, bky_2 となり、両域における杭の挙動に関する基礎方程式はつぎのようになる。

$$\text{塑性域 } (x \leq x_p) : EI \frac{d^4 y_1}{dx_1^4} + bP_f x_1^n = 0 \quad \cdots \cdots (1)$$

$$\text{弾性域 } (x > x_p) : EI \frac{d^4 y_2}{dx_2^4} + bky_2 = 0 \quad \cdots \cdots (2)$$

ここに、 EI ：杭の曲げ剛性、 b ：杭の作用幅。式(1), (2)を杭頭自由で杭が地上に突出していない場合の境界条件と接続条件のもとに解き、それを y_1 , y_2 について 2 回微分し ($-EI$) を掛けねばつぎのような曲げモーメントを与える式が得られる。

$$M_1 = \frac{bP_f}{(n+1)(n+2)} x_1^{n+2} - Hx_1 \quad \cdots \cdots (3)$$

$$M_2 = -e^{-\beta x_2} \left[\left(Hx_p - \frac{bP_f}{(n+1)(n+2)} x_p^{n+2} \right) \cos \beta x_2 + \left(\frac{1}{\beta} \left(H - \frac{bP_f}{n+1} x_p^{n+1} \right) + \left(Hx_p - \frac{bP_f}{(n+1)(n+2)} x_p^{n+2} \right) \right) \sin \beta x_2 \right] \cdots \cdots (4)$$

ここに、 H は水平力、 $\beta = \sqrt{bk/4EI}$ で、塑性域の深さ x_p は次式を満足する解として与えられる。

$$\frac{bP_f \beta}{(n+1)(n+2)} x_p^{n+2} + \frac{bP_f}{n+1} x_p^{n+1} + \frac{bP_f}{2\beta} x_p^n - \beta H x_p - H = 0$$

3. 模型実験と計算結果 図-3 は模型実験装置の概略を示したものである。模型杭は実行幅 1 cm, 杭長 55 cm で、杭の作用幅が 2, 3, 4 cm の X タアクリル酸樹脂製 3 本を使用した。また模型地盤には粉末粘土 ($L.L = 44.0\%$, $P.L = 25.9\%$) を用い、ソイルミキサーで含水比 32% でなり混ぜ、

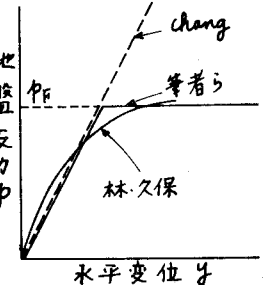


図-1 地盤反力と水平変位曲線

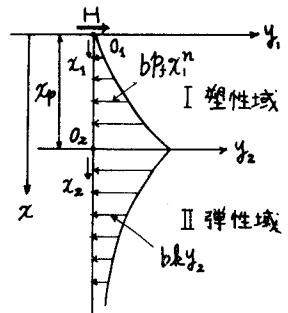


図-2 弾塑性域と地盤反力

土層内に10層にわけ、8kgの特殊ランマーにて高さ5cmから各層200回ずつ自然落下させて締め固めたものを用いた。またかかる地盤の地盤反力を深さ方向に十数段測定した結果、 $\text{kg} = 8 \text{ kg/cm}^2$, $\beta_H = 1.0 \times 10^6 \text{ kg/cm}^2$ であった。実験の実施に際しては、各水平荷重段階ごとに杭頭の水平変位と図-4の左端に画いた杭体に貼付した抵抗線ひずみ計により杭の曲げひずみを測定した。図-4はその結果の一例を示したものであり、式(3), (4)の $n=1$ とした式、 $n=0$ とした森博氏の式³⁾($P_H=1.2 \text{ kg/cm}^2$ を採用)、Changの方法による結果、および林・久保氏の方法による結果なども一括して示した。同図によると、 $n=1$ とした理論曲線は曲げモーメントの第1零点が幾分実測結果より小さく算出されているが、全般的にかなりよい対応を示している。またChangの式で求めたものは全体的に小さな値を与えている。さらに $n=0$ としたものは $H=8 \text{ kg}$ に対しては小さく $H=16 \text{ kg}$ では逆に大きな値が生じている。一方、林・久保式で求めた結果では $H=16 \text{ kg}$ で幾分大きく算出されているが実測値とよく対応している。また最大曲げモーメントが塑性域において生ずる場合には、その位置とその値は式(3)よりそれぞれつきの簡単な式で与えられる。

$$[\chi_1]_{M_{\max}} = \frac{n+1}{N} \sqrt{\frac{(n+1)H}{bP_f}} \quad (5) \quad M_{1\max} = -\frac{n+1}{n+2} H \sqrt{\frac{n+1}{bP_f} (n+1)H} \quad (6)$$

4. 結 言 本研究で得られた成果を要約するとつきのことである。1) 水平力をうける杭の挙動に関しては林・久保氏の方法とともに筆者らの方法も適用できるものと考えられる。

2) 今回のような模型実験による最大荷重に対する最大曲げモーメントを対象とするならば、その値およびその位置は式(5), (6)などからも簡単に求められるものと期待される。3) 筆者

らの理論式において、乾燥砂地盤に

対しては $n=2$ ²⁾、粘土地盤に対しては

はさらに検討を加える必要はあるが、

$n=1$ 程度の値を用いれば実測値と

よくあうことのみいたしました。4) 模型実験結果によると、それをに対して

して同寸法の杭幅の杭を使用したに

もかかわらず、乾燥砂地盤において

は杭幅の影響はほとんどみられなか

つたが、粘土地盤に対しては明瞭に

現われた。このことから杭幅の影響

は地盤の硬さ、性質などによっても

変化するものと考えられる。5) 上記3.に述べた各種理論式に含まれる諸係数の値のわずかな差異が、

計算結果に微妙な変化を与えるので諸係数の採用には留意する必要がある。

1) 久保浩一：杭の横抵抗の新しい計算法、港湾技術研究所報告、第2巻3号、1964.3

2) 勝見雅・西本安範：杭の水平抵抗に関する2,3の考察、昭和43年度関西支部講演会講演概要 III-20、昭43.5

3) 森博：直面荷重および水平力を受けた鋼杭の性状に関する研究、土木学会論文集、第123号 昭40.11

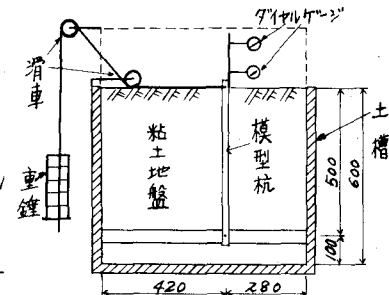


図-3 模型実験装置の概略図(単位:mm)

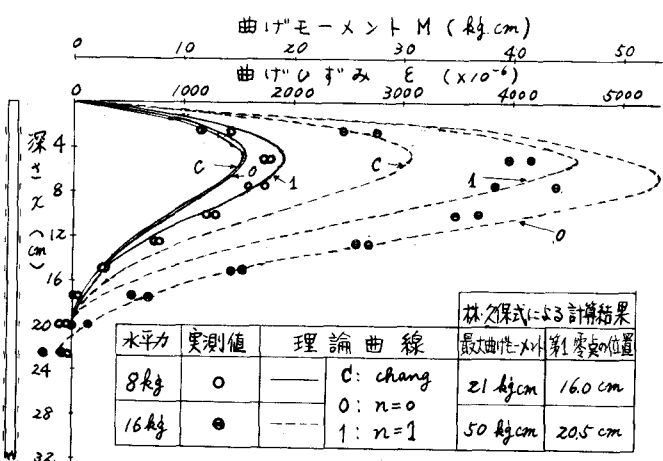


図-4 曲げモーメントの実測結果と理論曲線の一例 (b=2cm)
変化するものと考えられる。5) 上記3.に述べた各種理論式に含まれる諸係数の値のわずかな差異が、計算結果に微妙な変化を与えるので諸係数の採用には留意する必要がある。